

УДК 539.3

Обобщение задачи В.З. Власова о напряженном состоянии цилиндрических сосудов при гидростатическом давлении на случай физически ортотропного материала

Бу Ба Зуи

Московский авиационный институт (национальный исследовательский университет), МАИ, Волоколамское шоссе, 4, Москва, А-80, ГСП-3, 125993, Россия

e-mail: duyvuba1511@gmail.com

Аннотация

Исследуется влияние механических характеристик материала физически ортотропных цилиндрических оболочек с шарнирным закреплением на напряжённо-деформированное состояние при действии гидростатического давления, постоянного по длине, что соответствует горизонтальному расположению сосудов, частично заполненных жидкостью.

Ключевые слова: ортотропный материал, цилиндрическая оболочка, гидростатическое давление, сосуд, дифференциальное уравнение, ряд Фурье.

Введение. Постановка задачи.

Определение напряженно-деформированного состояния цилиндрических оболочек, являющихся неременным элементом многих частично заполненных жидкостью сосудов, под действием гидростатического давления, представляет интерес для расчётов прочности авиационных и ракетно-космических

тонкостенных конструкций [1-3]. Например, обечайки топливных баков, предназначенных для размещения компонентов жидкого топлива (окислителя, горючего), в полете нагружены внутренним избыточным давлением, складывающимся из гидростатического давления и наддува.

В случае изотропного материала задача определения напряженного состояния оболочек при гидростатическом давлении рассматривалась в монографии В.З.Власова [4], где на основе приближенной, полубезмоментной теории оболочек представлены некоторые результаты расчета напряжений.

В отличие от [4] здесь рассматриваются: *во-первых*, оболочки из не изотропного, а физически ортотропного материала. Такой вид материала, когда плоскости упругой симметрии совпадают с координатными плоскостями, представляется важным ввиду его широкого применения в конструкциях [5]; *во-вторых*, используется наиболее точная, общая теория оболочек из физически ортотропных материалов.

1. Дифференциальные уравнения задачи. При использовании полных уравнений теории физически ортотропных упругих тонких оболочек, построенной на основе принятия гипотез Кирхгофа-Лява, задача о действии на оболочку нормальной поверхностной нагрузки $p(\alpha, \beta)$ может быть приведена к следующему разрешающему дифференциальному уравнению относительно функции $\Phi(\alpha, \beta)$ [6] [7] :

$$L\Phi(\alpha, \beta) = R^4 D_1^{-1} p(\alpha, \beta) \quad (1.1)$$

$$\begin{aligned}
L = & \frac{\partial^8}{\partial \alpha^8} + a_{6,2} \frac{\partial^8}{\partial \alpha^6 \partial \beta^2} + 2\nu_2 \frac{\partial^6}{\partial \alpha^6} + a_{4,4} \frac{\partial^8}{\partial \alpha^4 \partial \beta^4} + \\
& + a_{4,2} \frac{\partial^6}{\partial \alpha^4 \partial \beta^2} + \lambda \frac{\partial^4}{\partial \alpha^4} + a_{2,6} \frac{\partial^8}{\partial \alpha^2 \partial \beta^6} + a_{2,4} \frac{\partial^6}{\partial \alpha^2 \partial \beta^4} + \\
& + a_{2,2} \frac{\partial^4}{\partial \alpha^2 \partial \beta^2} + \lambda^2 \frac{\partial^4}{\partial \beta^4} \left(\frac{\partial^2}{\partial \beta^2} + 1 \right)^2 + \frac{1 - \nu_1 \nu_2}{c^2} \lambda \frac{\partial^4}{\partial \alpha^4} \\
a_{6,2} = & \frac{\lambda - \nu_2^2}{\mu_1} + 4\mu_1; \quad a_{4,4} = 2\lambda \left[3 + \frac{\nu_1}{\mu_2} (1 - \nu_1 \nu_2) - 4\nu_1 (\nu_2 + \mu_1) \right]; \\
a_{4,2} = & a_{4,4}; \quad a_{2,6} = a_{6,2}; \quad a_{2,4} = 2\lambda (a_{6,2} - \nu_2); \\
a_{2,2} = & \lambda \left(\frac{\lambda - \nu_2^2}{\mu_1} - 2\nu_2 \right); \quad \lambda = \frac{E_2}{E_1} = \frac{\nu_2}{\nu_1}; \quad c^2 = \frac{h^2}{12R^2}; \\
\mu_i = & \frac{G}{E_i} (1 - \nu_1 \nu_2); \quad D_i = \frac{E_i h^3}{12(1 - \nu_1 \nu_2)}; \quad (i = 1; 2)
\end{aligned} \quad (1.2)$$

α, β – безразмерные продольная и окружная координаты соответственно; R , h – радиус, толщина оболочки; E_1, E_2 – модули упругости материала оболочки в направлениях α и β соответственно; G – модуль сдвига; ν_1 – коэффициент поперечного сжатия в направлении β при растяжении в направлении α ; ν_2 – коэффициент поперечного сжатия в направлении α при растяжении в направлении β .

Перемещения, усилия, изгибающие моменты связаны с разрешающей функцией $\Phi(\alpha, \beta)$ с помощью следующих дифференциальных зависимостей:

$$u(\alpha, \beta) = v_2 \frac{\partial^3 \Phi}{\partial \alpha^3} - \lambda \frac{\partial^3 \Phi}{\partial \alpha \partial \beta^2} - c^2 \left\{ \frac{\partial^5}{\partial \alpha^5} + \frac{1}{\mu_1} [\lambda - (v_2 + 2\mu_1)^2] \times \right. \\ \left. \times \frac{\partial^5}{\partial \alpha^3 \partial \beta^2} - \lambda \frac{\partial^5}{\partial \alpha \partial \beta^4} \right\} \Phi;$$

$$v(\alpha, \beta) = \left(\frac{\lambda - v_2^2}{\mu_1} - 2v_2 \right) \frac{\partial^3 \Phi}{\partial \alpha^2 \partial \beta} + \lambda \frac{\partial^3 \Phi}{\partial \beta^3} - 2c^2 \left[\frac{\partial^2}{\partial \alpha^2} + (v_2 + 2\mu_1) \frac{\partial^2}{\partial \beta^2} \right] \frac{\partial^3 \Phi}{\partial \alpha^2 \partial \beta};$$

$$w(\alpha, \beta) = \left[\frac{\partial^4}{\partial \alpha^4} + \left(\frac{\lambda - v_2^2}{\mu_1} - 2v_2 \right) \frac{\partial^4}{\partial \alpha^2 \partial \beta^2} + \lambda \frac{\partial^4}{\partial \beta^4} \right] \Phi;$$

$$T_1(\alpha, \beta) = -\frac{E_1 h}{R} \left\{ \lambda \frac{\partial^4 \Phi}{\partial \alpha^2 \partial \beta^2} + \frac{2c^2}{1 - v_1 v_2} \left[2\mu_1 \frac{\partial^6 \Phi}{\partial \alpha^4 \partial \beta^2} + (\lambda - v_2^2 - 2v_2 \mu_1) \frac{\partial^6 \Phi}{\partial \alpha^2 \partial \beta^4} \right] \right\};$$

$$T_2(\alpha, \beta) = -\frac{E_2 h}{R} \left\{ \frac{\partial^4 \Phi}{\partial \alpha^4} + \frac{c^2}{1 - v_1 v_2} \left[v_1 \frac{\partial^6 \Phi}{\partial \alpha^6} + \left(3 + \lambda \frac{v_1}{\mu_1} - \frac{v_1}{\mu_1} (v_2 + 2\mu_1)^2 \right) \times \right. \right. \\ \left. \left. \times \frac{\partial^6 \Phi}{\partial \alpha^4 \partial \beta^2} + \left(\frac{\lambda - v_2^2}{\mu_1} + 4\mu_1 - v_2 \right) \frac{\partial^6 \Phi}{\partial \alpha^2 \partial \beta^4} + \lambda \frac{\partial^6 \Phi}{\partial \beta^6} \right] \right\};$$

$$S_1(\alpha, \beta) = \frac{Gh}{R} \left[\frac{\lambda - v_2^2}{\mu_1} \frac{\partial^4 \Phi}{\partial \alpha^3 \partial \beta} - 2c^2 \left(\frac{\partial^6 \Phi}{\partial \alpha^5 \partial \beta} - \lambda \frac{\partial^6 \Phi}{\partial \alpha \partial \beta^5} \right) \right]; \quad (1.3)$$

$$S_2(\alpha, \beta) = \frac{Gh}{R} \left\{ \frac{\lambda - v_2^2}{\mu_1} \frac{\partial^4 \Phi}{\partial \alpha^3 \partial \beta} - 2c^2 \left[2 \frac{\partial^6 \Phi}{\partial \alpha^5 \partial \beta} + \left(\frac{\lambda - v_2^2}{\mu_1} - 2v_2 \right) \frac{\partial^6 \Phi}{\partial \alpha^3 \partial \beta^3} \right] \right\};$$

$$\begin{aligned}
G_1(\alpha, \beta) = & -\frac{D_1}{R^2} \left\{ \frac{\partial^6 \Phi}{\partial \alpha^6} + \left(\frac{\lambda - \nu_2^2}{\mu_1} - 2\nu_2 \right) \frac{\partial^6 \Phi}{\partial \alpha^4 \partial \beta^2} + \nu_2 \frac{\partial^4 \Phi}{\partial \alpha^4} + \right. \\
& + \left[\lambda + \nu_2 \left(\frac{\lambda - \nu_2^2}{\mu_1} - 2\nu_2 \right) \right] \frac{\partial^6 \Phi}{\partial \alpha^2 \partial \beta^4} - \left[\lambda + \nu_2^2 \frac{(\lambda - \nu_2^2)\nu_2}{\mu_1} \right] \frac{\partial^4 \Phi}{\partial \alpha^2 \partial \beta^2} + \\
& \left. + \lambda \nu_2 \left(\frac{\partial^6 \Phi}{\partial \beta^6} + \frac{\partial^4 \Phi}{\partial \beta^4} \right) \right\};
\end{aligned}$$

$$\begin{aligned}
G_2(\alpha, \beta) = & -\frac{D_2}{R^2} \left\{ \nu_1 \frac{\partial^6 \Phi}{\partial \alpha^6} + \frac{\partial^4 \Phi}{\partial \alpha^4} + \left[1 + \nu_2^2 \frac{(\lambda - \nu_2^2)\nu_1}{\mu_1} - 2\nu_1 \nu_2 \right] \frac{\partial^6 \Phi}{\partial \alpha^4 \partial \beta^2} + \right. \\
& + \left(\frac{\lambda - \nu_2^2}{\mu_1} - \nu_2 \right) \frac{\partial^6 \Phi}{\partial \alpha^2 \partial \beta^4} + \left(\frac{\lambda - \nu_2^2}{\mu_1} - 2\nu_2 \right) \frac{\partial^4 \Phi}{\partial \alpha^2 \partial \beta^2} + \lambda \left(\frac{\partial^6 \Phi}{\partial \beta^6} + \frac{\partial^4 \Phi}{\partial \beta^4} \right) \left. \right\};
\end{aligned}$$

2. Решение уравнений (1.1 - 1.3) при гидростатическом давлении.

Влияние параметров ортотропии материала на напряженно-деформированное состояние рассмотрим на примере оболочки с шарнирным закреплением поперечных краев. Краевые условия в этом случае, как известно, математически формулируются следующим образом:

$$w = v = T_1 = G_1 = 0 ; \quad \alpha = 0, \alpha = \alpha_1, \quad (2.1)$$

где $\alpha_1 = L/R$ – относительная длина оболочки.

Таким образом, краевая задача о нахождении напряженно-деформированного состояния рассматриваемой оболочки формулируется так: необходимо найти

разрешающую функцию $\Phi(\alpha, \beta)$, являющуюся решением разрешающего уравнения (1.1), удовлетворяющую краевым условиям (1.4), которые записываются через $\Phi(\alpha, \beta)$ с помощью соотношений (1.3).

Поверхностную нагрузку $p(\alpha, \beta)$ - гидростатическое давление жидкости - представим в виде произведения амплитудного значения давления p_0 и двух безразмерных функций, характеризующих его распределение вдоль образующей и контура:

$$p(\alpha, \beta) = p_0 \theta(\alpha) \theta(\beta),$$

$$p(\alpha, \beta) = p_0 \theta(\alpha) \theta(\beta) = p_0 \sum_{n=0}^{\infty} \sum_{m=1}^{\infty} \theta_m \theta_n \sin \chi_m \alpha \cos n\beta. \quad (2.2)$$

где p_0 - амплитудное значение, $p_0 = -\gamma R$, γ - плотность жидкости, а знак «минус» обусловлен принятым здесь, как и в [7], правилом знаков для внешней нагрузки;

$\theta(\alpha)$, $\theta(\beta)$ - безразмерные функции распределения нагрузки в продольном и окружном направлениях, соответственно.

В продольном направлении гидростатическое давление принимается постоянным, поэтому $\theta(\alpha) = 1$, $0 \leq \alpha \leq \alpha_1$, а в окружном оно меняется по закону, принятому в монографии [4]:

$$\theta(\beta) = \begin{cases} \cos \beta - \cos \beta_0, & |\beta| \leq \beta_0 \\ 0, & |\beta| > \beta_0 \end{cases},$$

где β_0 - половина угла заполнения сосуда жидкостью,

В представлении нагрузки (2.2) приняты обозначения:

θ_m – коэффициент разложения $\theta(\alpha)$ в тригонометрический ряд по синусам с периодом $2\alpha_1$

$$\theta(\alpha) = \sum_{m=1}^{\infty} \theta_m \sin \chi_m \alpha, \quad \text{где } \chi_m = \frac{m\pi}{\alpha_1};$$

θ_n - коэффициент разложения в тригонометрический ряд Фурье

$$\theta(\beta) = \sum_{n=0}^{\infty} \theta_n \cos n\beta = \theta_0 + \theta_1 \cos \beta + \sum_{n=2}^{\infty} \theta_n \cos n\beta,$$

$$\theta_0 = \frac{2}{\pi} \int_0^{\beta_0} (\cos \beta - \cos \beta_0) d\beta = \frac{2}{\pi} (\sin \beta_0 - \beta_0 \cos \beta_0);$$

$$\begin{aligned} \theta_n &= \frac{2}{\pi} \int_0^{\beta_0} (\cos \beta - \cos \beta_0) \cos n\beta d\beta = \\ &= \frac{2}{\pi} \left[\frac{\sin(n-1)\beta_0}{2(n-1)} + \frac{\sin(n+1)\beta_0}{2(n+1)} - \cos \beta_0 \frac{\sin n\beta_0}{n} \right]. \end{aligned}$$

Здесь первые два члена ряда ($n=0, n=1$) соответствуют деформированию сосуда без изменения формы поперечного кругового сечения, а остальные характеризуют деформирование контура.

Граничные условия (2.1) будут удовлетворены, если представить разрешающую функцию $\Phi(\alpha, \beta)$ в виде двойного тригонометрического ряда

$$\Phi(\alpha, \beta) = \sum_{n=0}^{\infty} \sum_{m=1}^{\infty} \Phi_{mn} \sin \chi_m \alpha \cos n\beta.$$

В результате очевидных подстановок для разрешающей функции получаем выражение:

$$\Phi(\alpha, \beta) = 12(1 - \nu_1 \nu_2) \left(\frac{R}{h}\right)^3 \frac{p_0 R}{E_1} \sum_{n=0}^{\infty} \sum_{m=1}^{\infty} \frac{\theta_m \theta_n}{L_{mn}} \sin \chi_m \alpha \cos n\beta,$$

где

$$L_{m,n} = \chi_m^8 + a_{6,2}\chi_m^6 n^2 - 2v_2\chi_m^6 + a_{4,4}\chi_m^4 n^4 - a_{4,2}\chi_m^4 n^2 + \lambda\chi_m^4 + \\ + a_{2,6}\chi_m^2 n^6 - a_{2,4}\chi_m^2 n^4 + a_{2,2}\chi_m^2 n^2 + \lambda^2 n^4 (n^2 - 1)^2 + \lambda \frac{1 - v_1 v_2}{c^2} \chi_m^4;$$

Вычислительные формулы в виде рядов для перемещений, усилий и моментов находим в результате подстановки $\Phi(\alpha, \beta)$ в соотношения (1.3), связывающие искомые факторы с разрешающей функцией. Приведем наиболее важные из них:

$$\frac{E_1}{p_0 R} w = 12(1 - v_1 v_2) \left(\frac{R}{h}\right)^3 \sum_{n=0}^{\infty} \sum_{m=1}^{\infty} \frac{\theta_m \theta_n}{L_{mn}} w_{mn} \sin \chi_m \alpha \cos n\beta; \\ \frac{1}{p_0 R} T_i = -12(1 - v_1 v_2) \left(\frac{R}{h}\right)^2 \sum_{n=0}^{\infty} \sum_{m=1}^{\infty} \frac{\theta_m \theta_n}{L_{mn}} t_{imn} \sin \chi_m \alpha \cos n\beta; \quad (2.3)$$

$$\frac{1}{p_0 R^2} G_i = \sum_{n=0}^{\infty} \sum_{m=1}^{\infty} \frac{\theta_m \theta_n}{L_{mn}} g_{imn} \sin \chi_m \alpha \cos n\beta; \quad (i = 1, 2),$$

где $w_{mn} = \chi_m^4 + \left(\frac{\lambda - v_2^2}{\mu_1} - 2v_2\right) \chi_m^2 n^2 + \lambda n^4;$

$$t_{1mn} = \lambda \chi_m^2 n^2 + \frac{2c^2}{1 - v_1 v_2} \left[2\mu_1 \chi_m^4 n^2 + (\lambda - v_2^2 - 2v_2 \mu_1) \chi_m^2 n^4 \right];$$

$$t_{2mn} = \lambda \left\{ \chi_m^4 - \frac{2c^2}{1 - v_1 v_2} \left[v_1 \chi_m^6 + \left(3 + \lambda \frac{v_1}{\mu_1} - \frac{v_1}{\mu_1} (v_2 + 2\mu_1)^2 \right) \chi_m^4 n^2 + \right. \right. \\ \left. \left. + \left(\frac{\lambda - v_2^2}{\mu_1} + 4\mu_1 - v_2 \right) \chi_m^2 n^4 + \lambda n^6 \right] \right\};$$

$$g_{1mn} = \left[\chi_m^6 + \left(\frac{\lambda - v_2^2}{\mu_1} - v_2 \right) \chi_m^4 n^2 + -v_2 \chi_m^4 + \left[\lambda + v_2 \left(\frac{\lambda - v_2^2}{\mu_1} - v_2 \right) \right] \chi_m^2 n^4 + \right. \\ \left. + \left(\lambda + v_2^2 - \frac{(\lambda - v_2^2)v_2}{\mu_1} \right) \chi_m^2 n^2 - \lambda v_2 (n^4 - n^6) \right];$$

$$g_{2mn} = \lambda \left[v_1 \chi_m^6 - \chi_m^4 + \left[1 + \frac{(\lambda - v_2^2)v_1}{\mu_1} - 2v_1 v_2 \right] \chi_m^4 n^2 + \left(\frac{\lambda - v_2^2}{\mu_1} - v_2 \right) \chi_m^2 n^4 - \right. \\ \left. - \left(\frac{\lambda - v_2^2}{\mu_1} - 2v_2 \right) \chi_m^2 n^2 - \lambda (n^4 - n^6) \right];$$

3. Численные результаты расчета оболочек. В качестве объекта исследования влияния ортотропии на напряженно-деформированное состояние рассмотрим оболочку с геометрическими параметрами, принятыми в работе [4]: длина $L=4000$ см, радиус $R=320$ см, толщина $h=0,6$ см. Угол заполнения сосуда жидкостью $2\beta_0 = 66$ град.

3.1. Анализ влияния на напряженно-деформированное состояние параметра ортотропии λ . Результаты расчётов по формулам (2.3) для гипотетических ортотропных материалов исследуемой оболочки представим в виде графиков на рис. 1-5, где дано распределение нормального перемещения, продольного и кольцевого усилий, продольного и кольцевого изгибающих моментов: w, T_1, T_2, G_1, G_2 - вдоль нулевой образующей оболочки в зависимости от значений параметра ортотропии материала λ , который изменяется в достаточно широком диапазоне ($\lambda = 0,1 - 10$). Имеет место весьма сильная зависимость приведенных факторов от величины λ . Причем, при росте параметра ортотропии

λ значения кольцевого изгибающего момента увеличиваются, а нормального перемещения и продольного усилия уменьшаются.

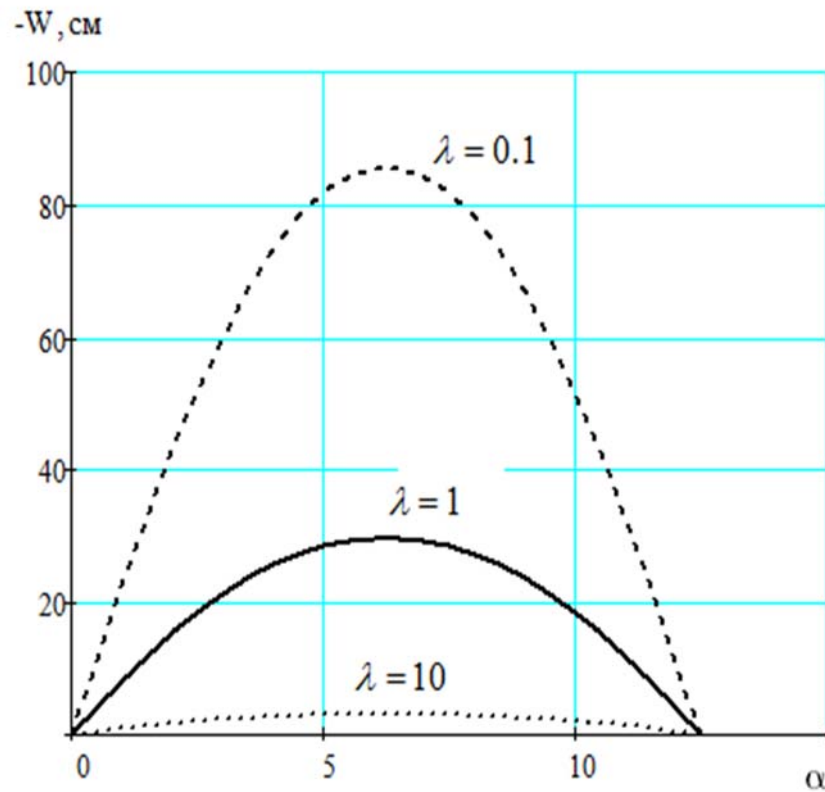


Рис.1. Изменение радиального перемещения вдоль нулевой образующей оболочки при различных значениях параметра ортотропии материала λ .

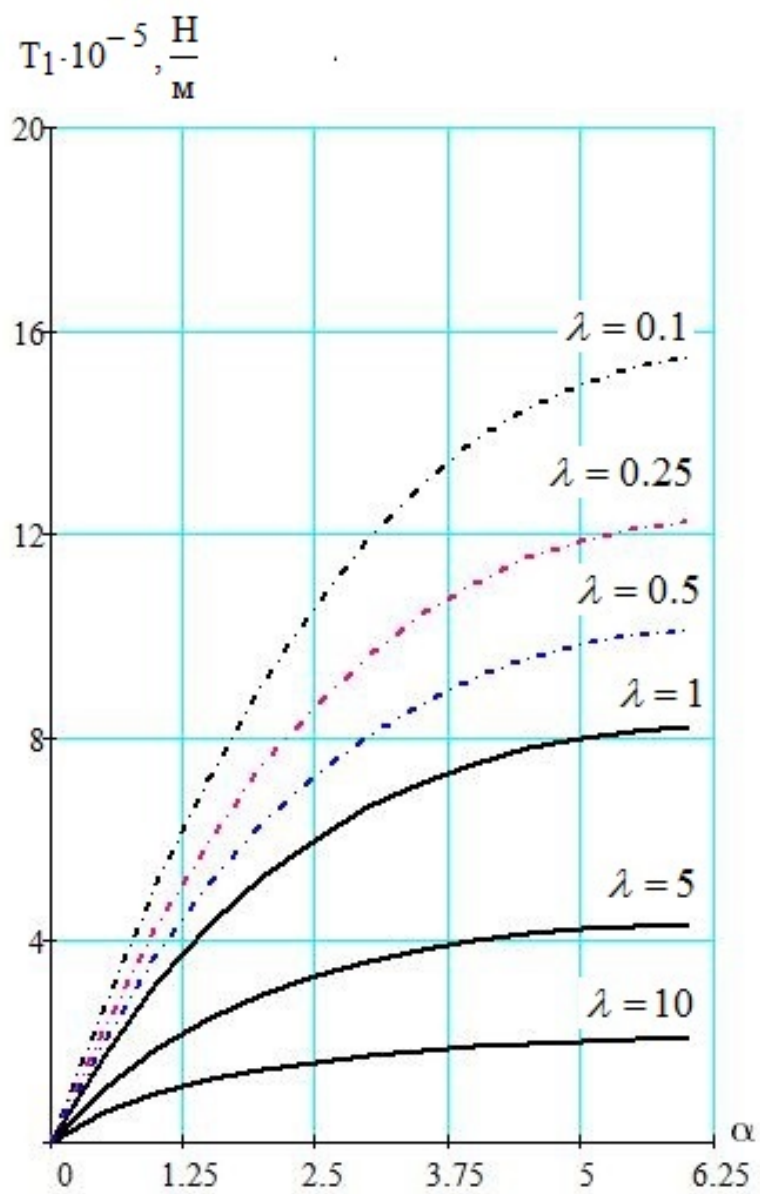


Рис.2. Изменение продольного усилия вдоль нулевой образующей оболочки при различных значениях параметра ортотропии λ .

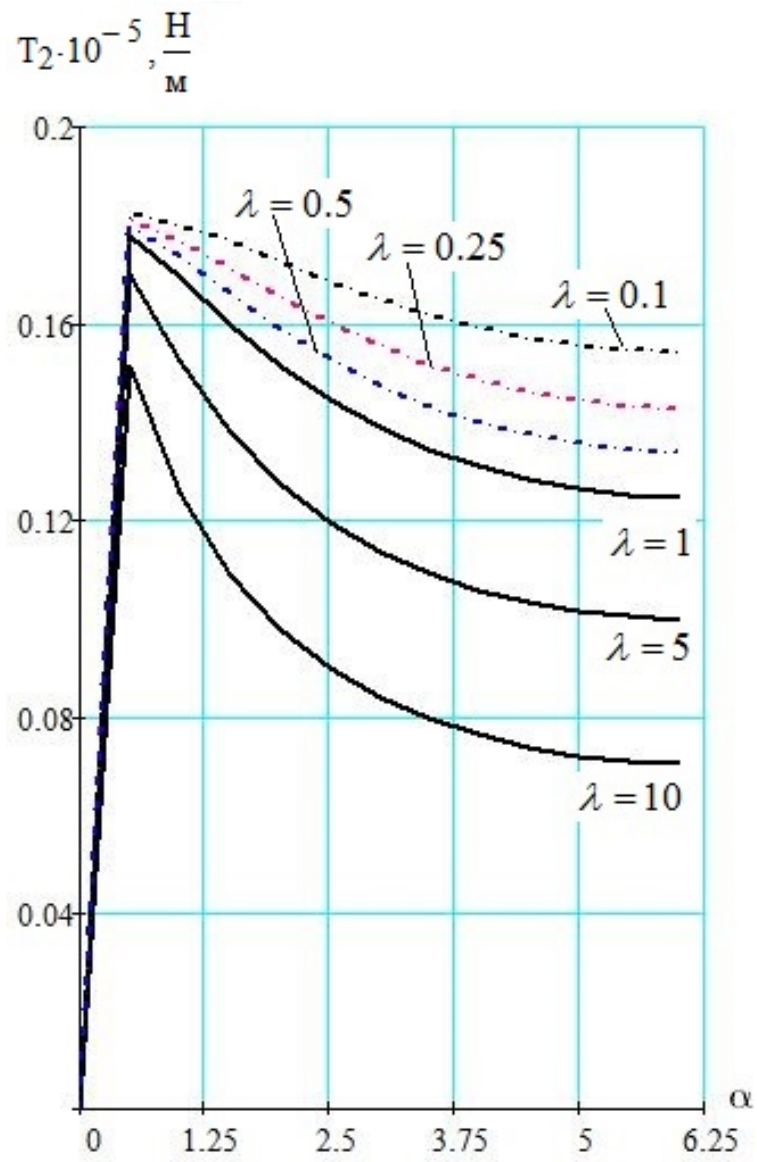


Рис.3. Изменение кольцевого усилия вдоль нулевой образующей оболочки при различных значениях параметра ортотропии λ .

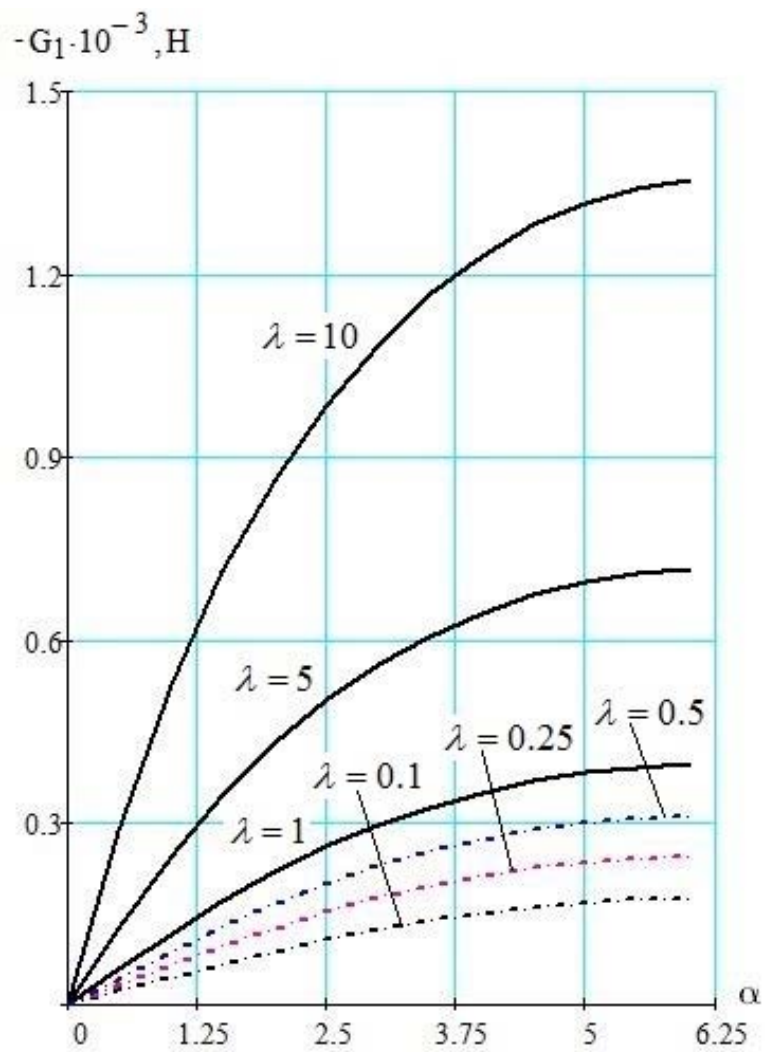


Рис.4. Изменение продольного изгибающего момента вдоль нулевой образующей оболочки с различными значениями параметра ортотропии λ .

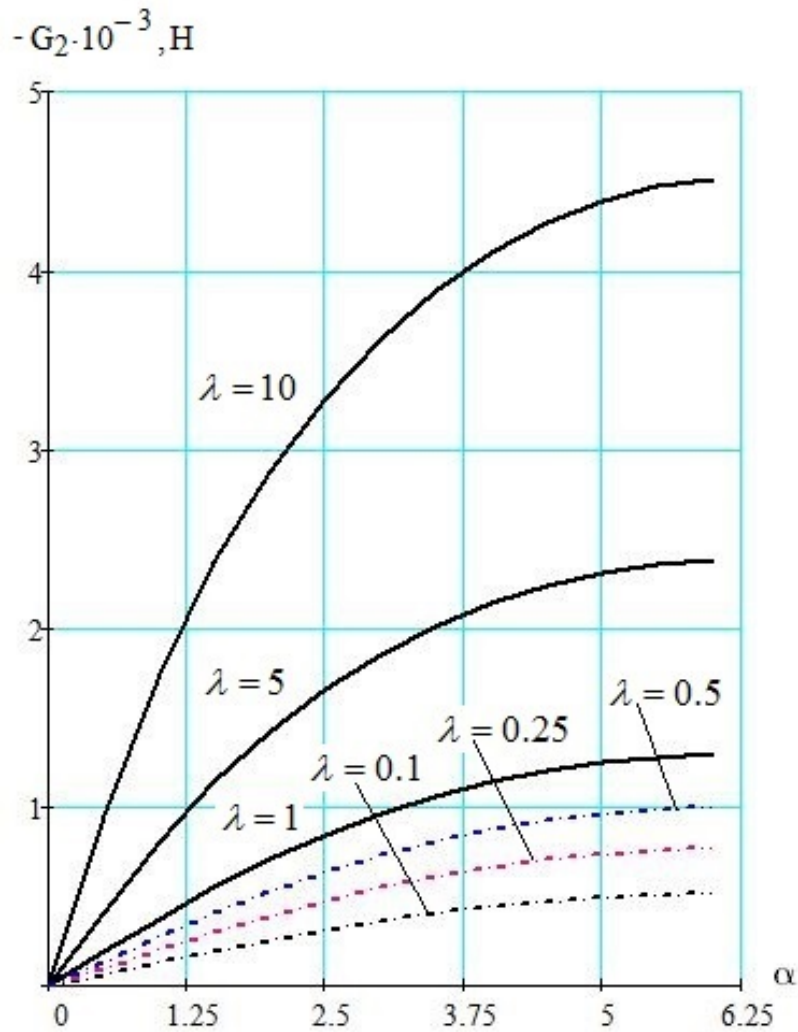


Рис.5. Изменение кольцевого изгибающего момента вдоль нулевой образующей оболочки с различными значениями параметра ортотропии λ .

Отметим, что в соответствии с принятым правилом знаков, как в [6,7], отрицательное нормальное перемещение направлено в сторону увеличения радиуса, положительные усилия – растягивающие, а положительные изгибающие моменты создают растягивающие напряжения на внешней поверхности оболочки.

Результат расчёта максимального значения нормального продольного напряжения, в середине оболочки, для частного случая изотропного материала, при $\lambda = 1$, сопоставлялся с полученным в монографии приближенным решением [4].

При этом его отклонение от полученного здесь точного результата составляет более 10%.

3.2. К выбору типа материала для сосуда. В качестве другого примера рассмотрим цилиндрические оболочки с шарнирным закреплением, изготовленные из стали 1Х18Н10Т, алюминиевого сплава Д16Т и композитного материала со следующими механическими характеристиками:

1 - Сталь 1Х18Н10Т: $E_1 = E_2 = 21 \cdot 10^4 \text{ МПа}$, $\nu_1 = \nu_2 = 0.3$;

2 - Алюминиевый сплав Д16Т: $E_1 = E_2 = 7.2 \cdot 10^4 \text{ МПа}$, $\nu_1 = \nu_2 = 0.3$;

3 - Боропластик: $E_1 = 21.1 \cdot 10^4 \text{ МПа}$, $E_2 = 2.11 \cdot 10^4 \text{ МПа}$, $\nu_1 = 0.35$, $\nu_2 = 0.035$;

4 - Стеклопластик:

$E_1 = 6.25 \cdot 10^4 \text{ МПа}$, $E_2 = 2.12 \cdot 10^4 \text{ МПа}$, $\nu_1 = 0.215$, $\nu_2 = 0.073$.

Оболочки имеют указанные в начале раздела **3** геометрические параметры и угол заполнения жидкостью $2\beta_0 = 66^\circ$.

Численные значения максимальных напряжений, полученные по формулам (2.3), на наружной и внутренней поверхностях оболочки, приведены в таблице 1. Максимальные нормальные перемещения записаны в последнем столбце этой таблицы.

Таблица 1

Материал оболочки	Напряжение, мПа				Нормальное перемещение, см
	$s_{1\max}^+$	$s_{1\max}^-$	$s_{2\max}^+$	$s_{2\max}^-$	W
1X18H10T	70.6	202.3	-214	218	29.6
Д 16	70.6	202.3	-214	218	86.4
Боропластик	224	291	-83	89	85.5
Стеклопластик	163	226	-134	139	180

В таблице 1 приняты обозначения: s_1^+ и s_2^+ - меридиональное и окружное напряжения на наружной поверхности; s_1^- и s_2^- - меридиональное и окружное напряжения на внутренней поверхности оболочки.

Выводы. Таким образом, дано обобщение задачи В.З.Власова на случай анизотропного, физически ортотропного, материала. Построенное эффективное решение позволяет получать достаточно легко точную информацию о напряженно-деформированном состоянии оболочек с шарнирными условиями закрепления из ортотропных композитных материалов при действии радиальной нагрузки, а для конкретных конструкций выбирать подходящие материалы. Влияние граничных условий закрепления оболочек, отличных от шарнирных, исследовано в работе [8], а анализу влияния анизотропии на напряженное состояние при нагрузке, отличной от рассмотренной, а именно продольной, посвящена работа [9].

Библиографический список

1. Кан С.Н., Свердлов И.В. Расчет на прочность самолета. - М.: Машиностроение, 1966. - 519 с.
2. Новиков В.Н., Авхимович Б.М., Вейтин В.Е. Основы устройства и конструирования летательных аппаратов. - М.: Машиностроение, 1991.- 368 с.
3. Моссаковский В.И., Макаренков А.Г., Никитин П.И., Саввин Ю.И., Спиридонов И.Н. Прочность ракетных конструкций. - М.: Высшая школа, 1990. - 359 с.
4. Власов В.З. Общая теория оболочек и ее приложения в технике. - М.: Изд-во АН СССР, 1962. - 528 с.
5. Белозеров Л.Г., Киреев В.А. Композитные оболочки при силовых и тепловых воздействиях. – М.: Физматлит, 2003. – 388 с.
6. Образцов И.Ф., Нерубайло Б.В., Андрианов И.В. Асимптотические методы в строительной механике тонкостенных конструкций. - М.: Машиностроение, 1991. - 416 с.
7. Нерубайло Б.В. Локальные задачи прочности цилиндрических оболочек. - М.: Машиностроение, 1983. - 248 с.
8. Нерубайло Б.В., Ву Ба Зуи, Зайцев В.М. К расчёту напряжений в цилиндрических сосудах при несимметричном гидростатическом давлении и нагреве // Электронный журнал «Труды МАИ», 2013, вып.67: <http://www.mai.ru/science/trudy/published.php?ID=41403> (дата публикации 25.08.2013).

9. Нерубайло Б.В., Ву Ба Зуи. Дифференциальные уравнения физически ортотропны и изотропных цилиндрических оболочек при действии продольных нагрузок // Вестник Московского авиационного института, 2013. Т.20. С. 173-184.